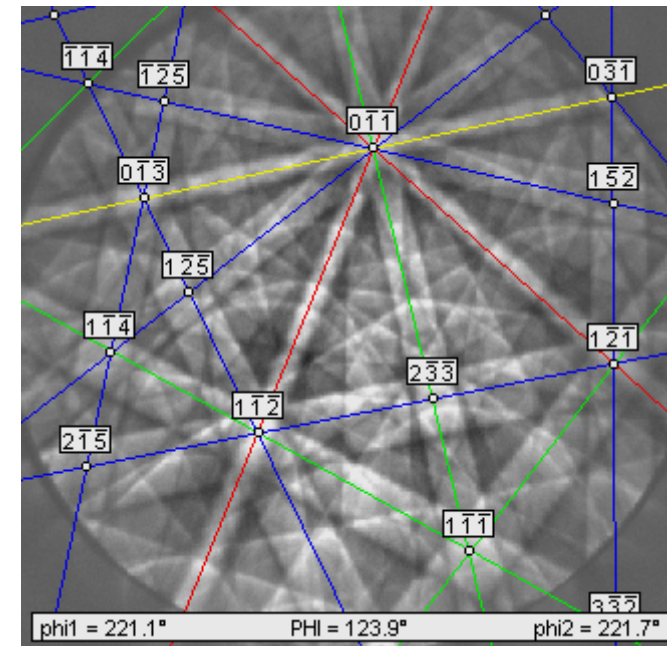
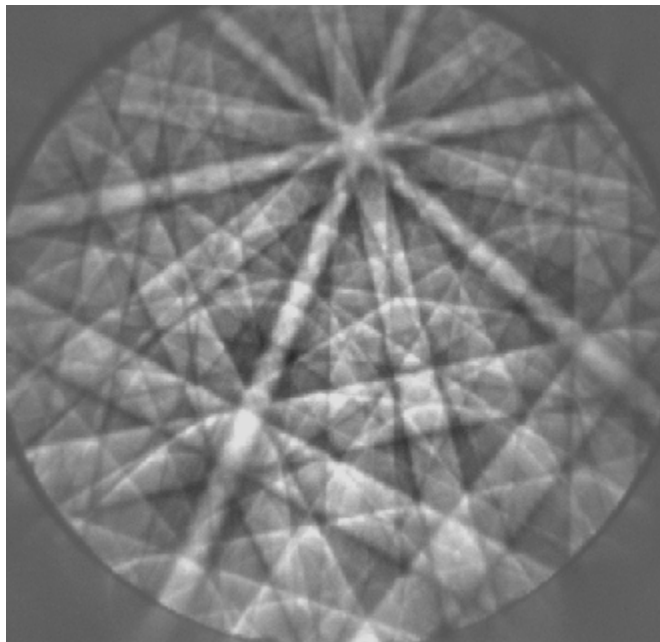


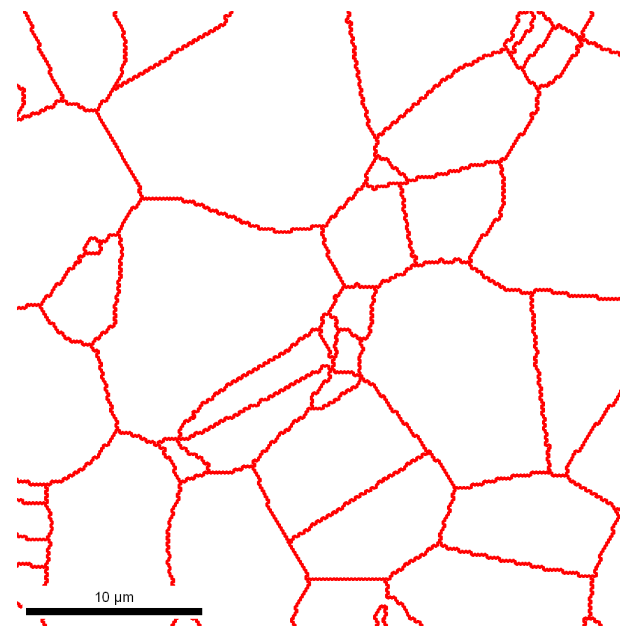
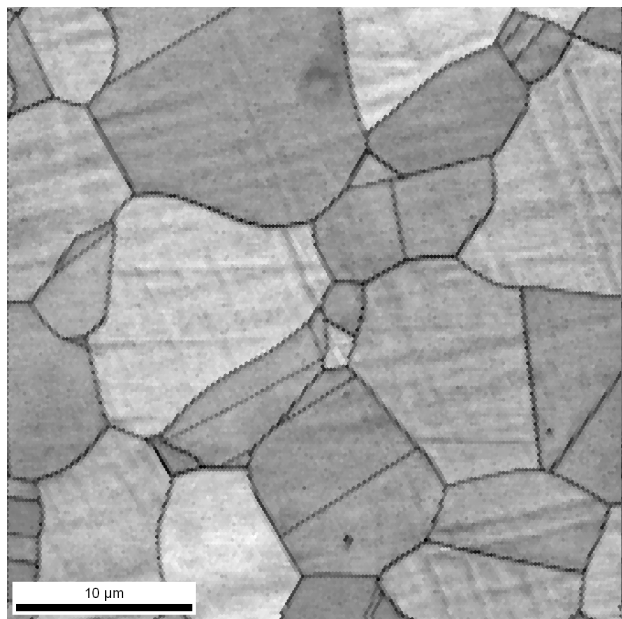
EBS analysis

1 point de mesure :



Show	orientation				position				phase	button
	phi1	PHI	phi2	IQ	Cl	fit	x	y		
804	80.6	58.7	18.7	55.2	0.486	1.000	-10.00	-45.73	fcc_generic	button

Grains boundary



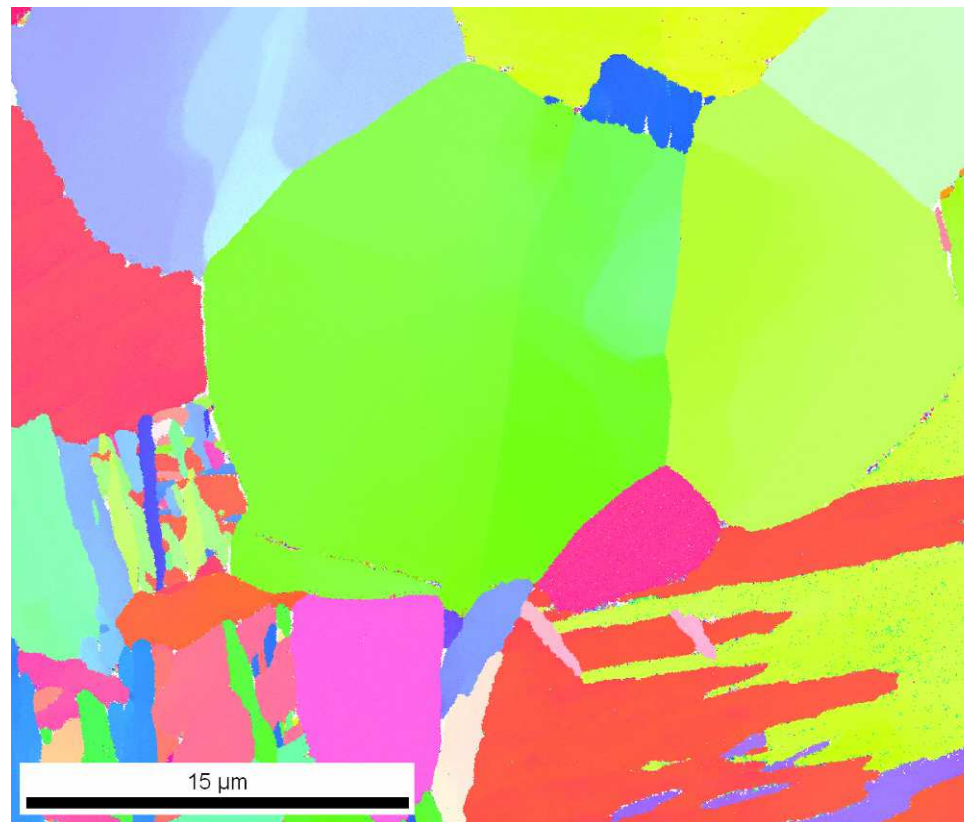
Stainless steel ferrite - austenite

" basic mapping "

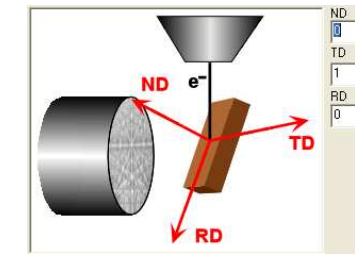
Orientation

RD

Ti alloy bimodal microstructure

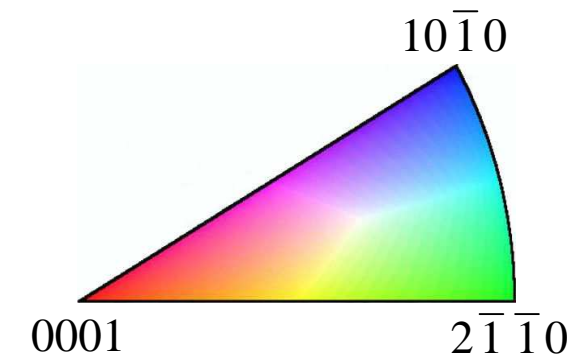


ND (surface normal)



TD

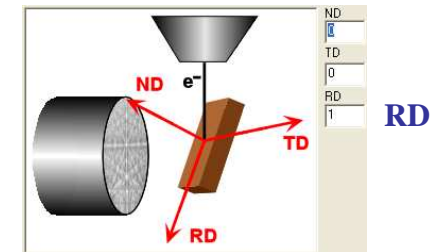
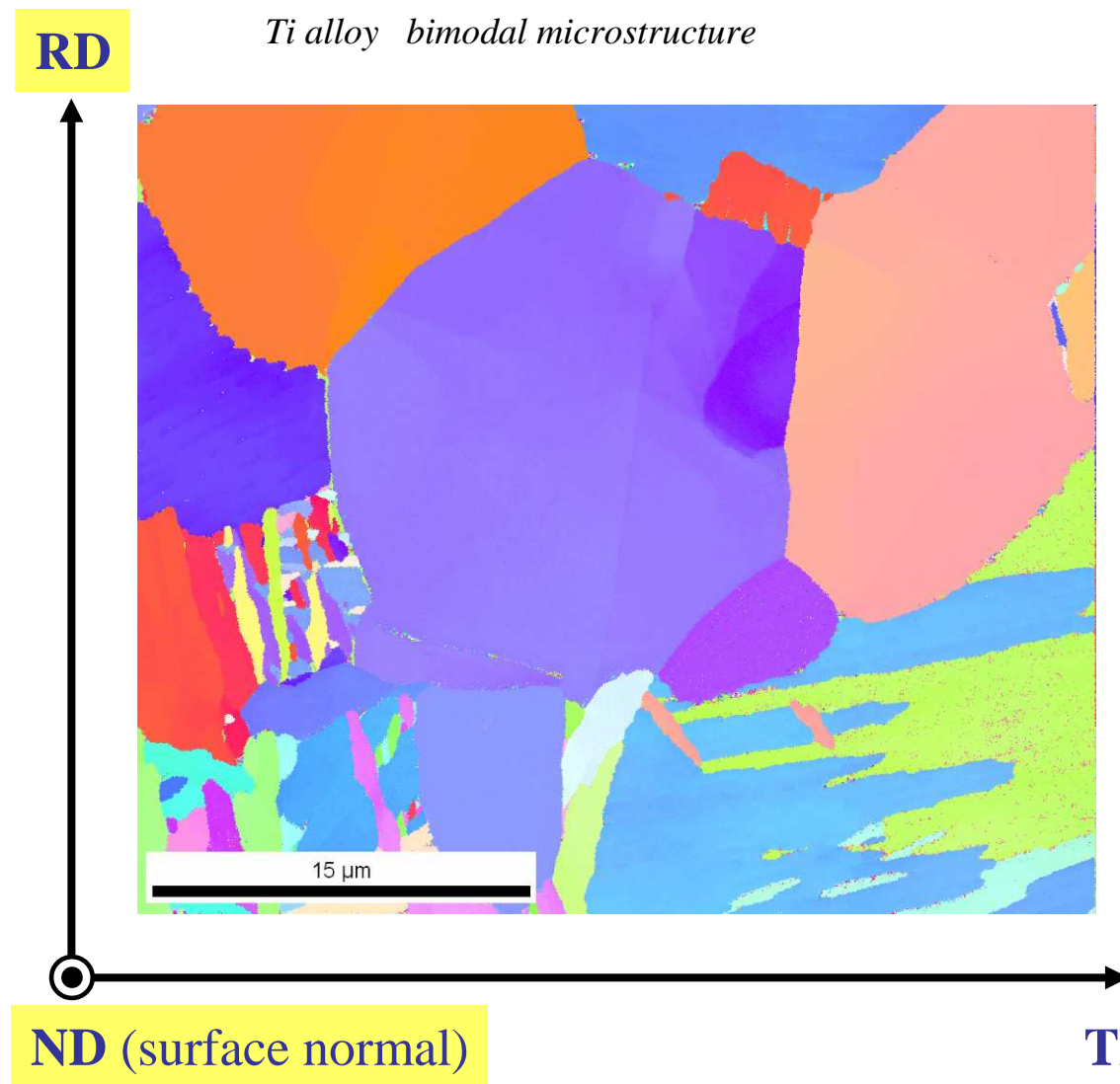
Mapping along
TD direction



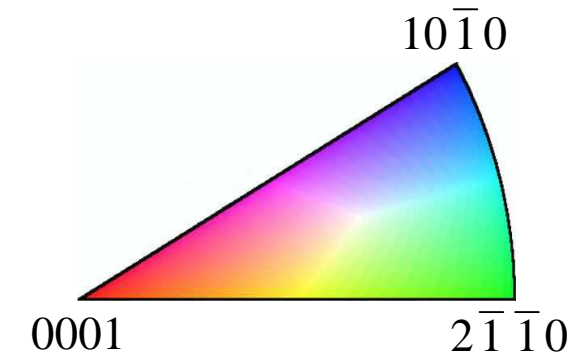
TD

" basic mapping "

Orientation



Mapping along
RD direction

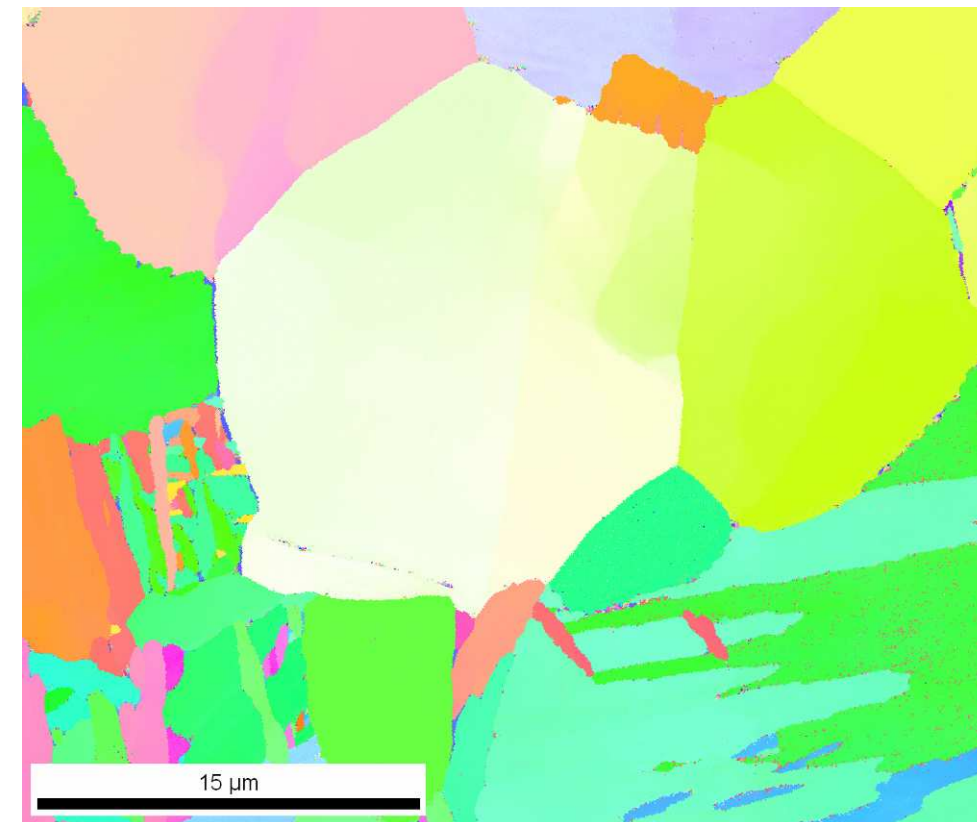


" basic mapping "

Orientation

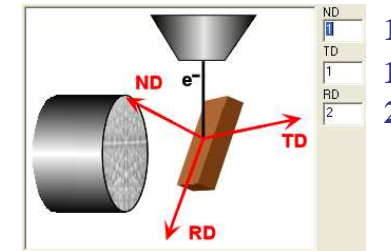
RD

Ti alloy bimodal microstructure

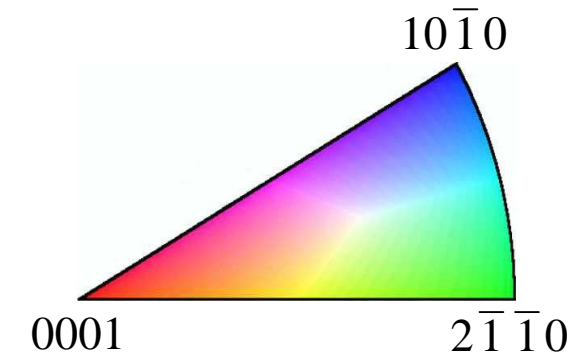


ND (surface normal)

TD



Mapping along the direction:
[1 ND - 1 TD - 2 RD]

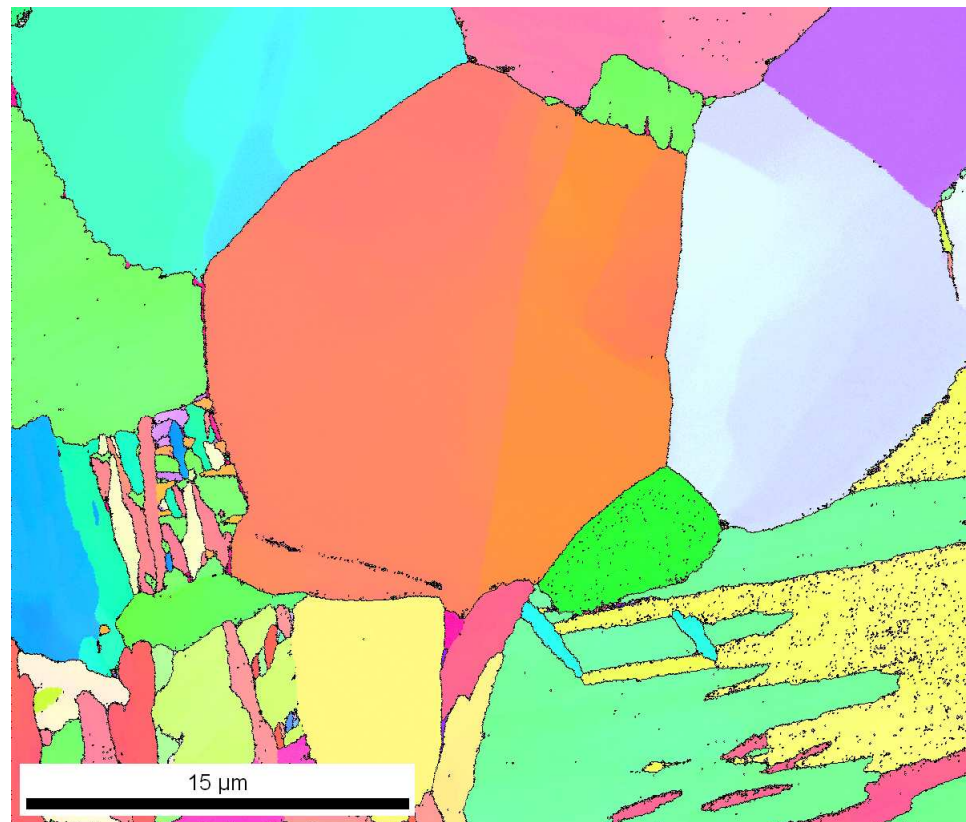


" basic mapping "

Orientation

RD

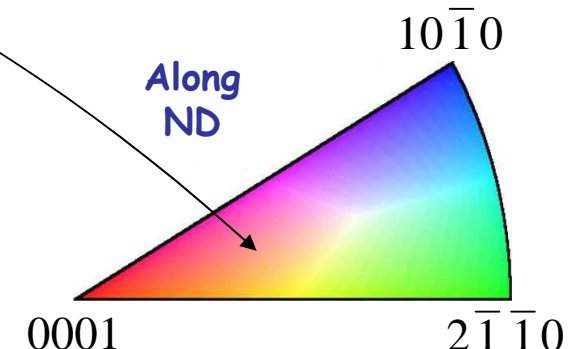
Ti alloy bimodal microstructure



ND (surface normal)

TD

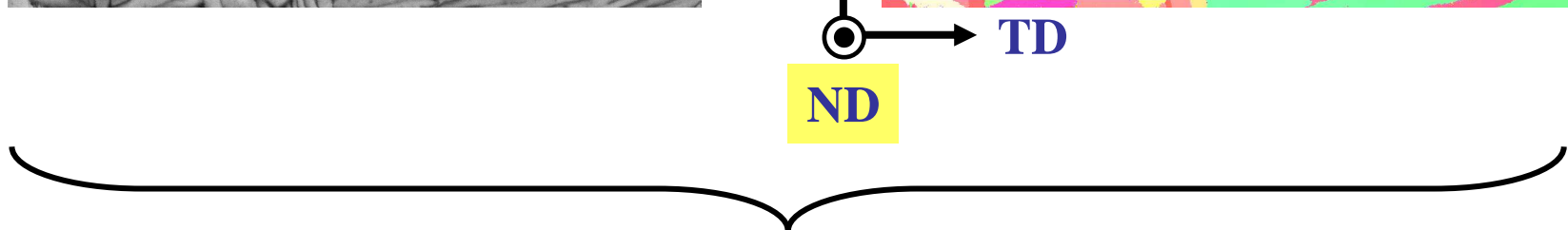
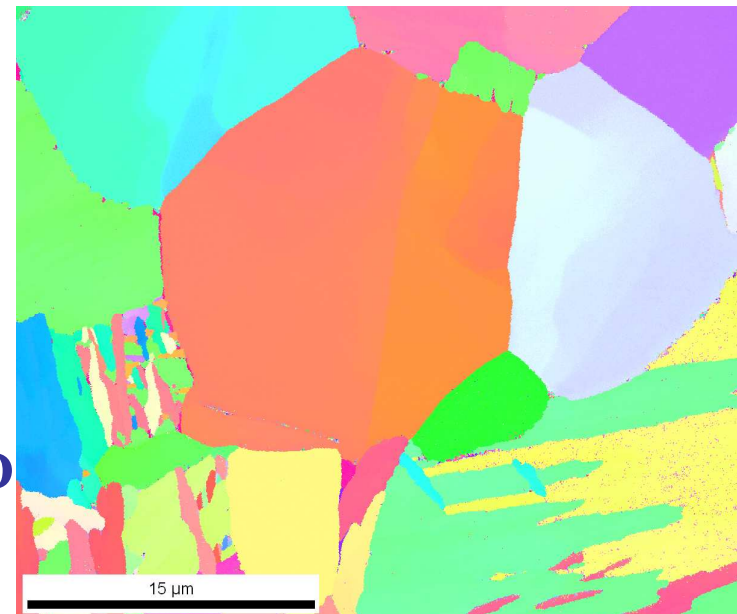
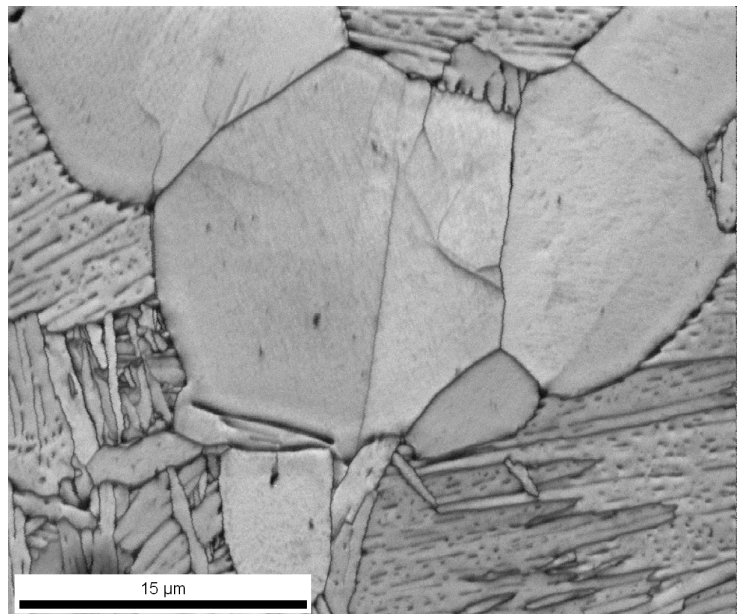
Misorientation
boundary:
 $15^\circ - 180^\circ$
Data obtained from a
comparison between
pixels



" basic mapping "

Orientation

Ti alloy bimodal microstructure

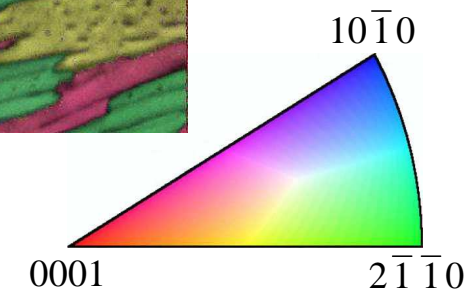
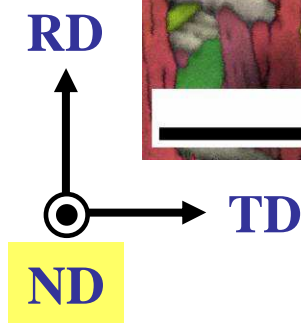
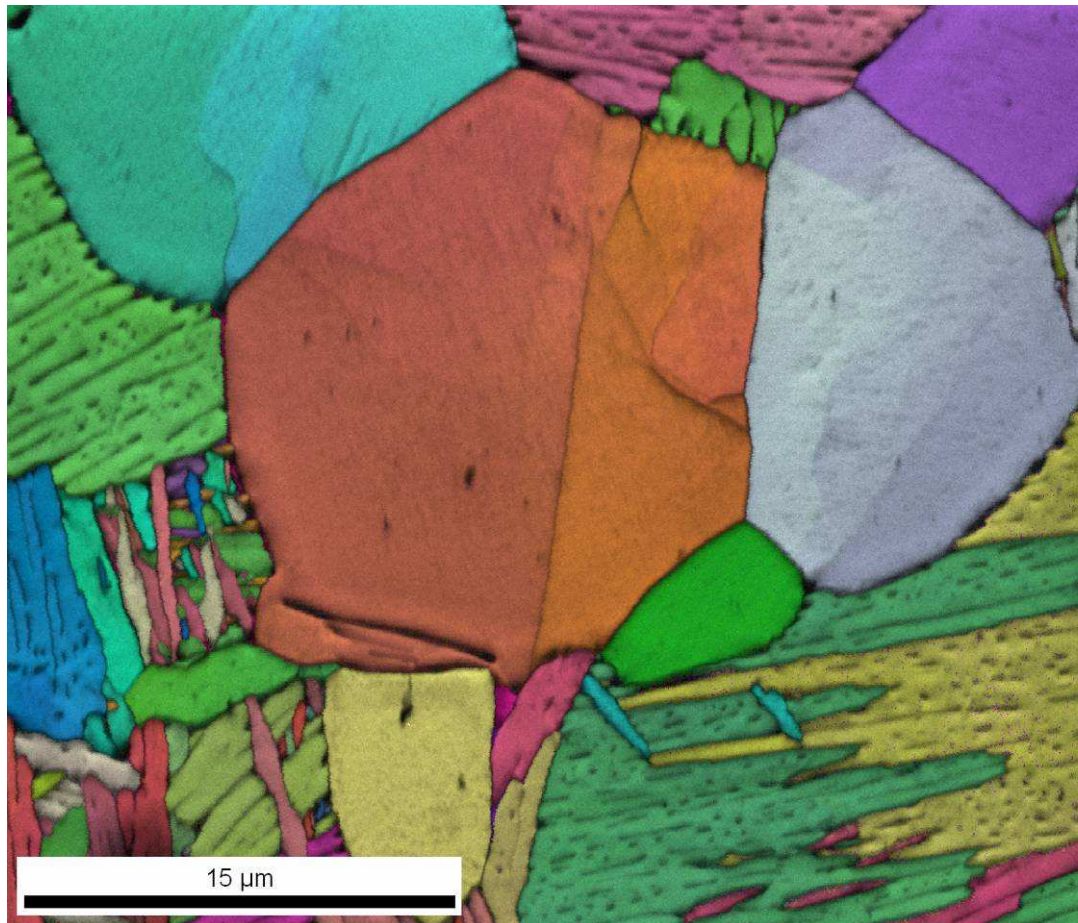


mixture of information

" basic mapping "

Orientation

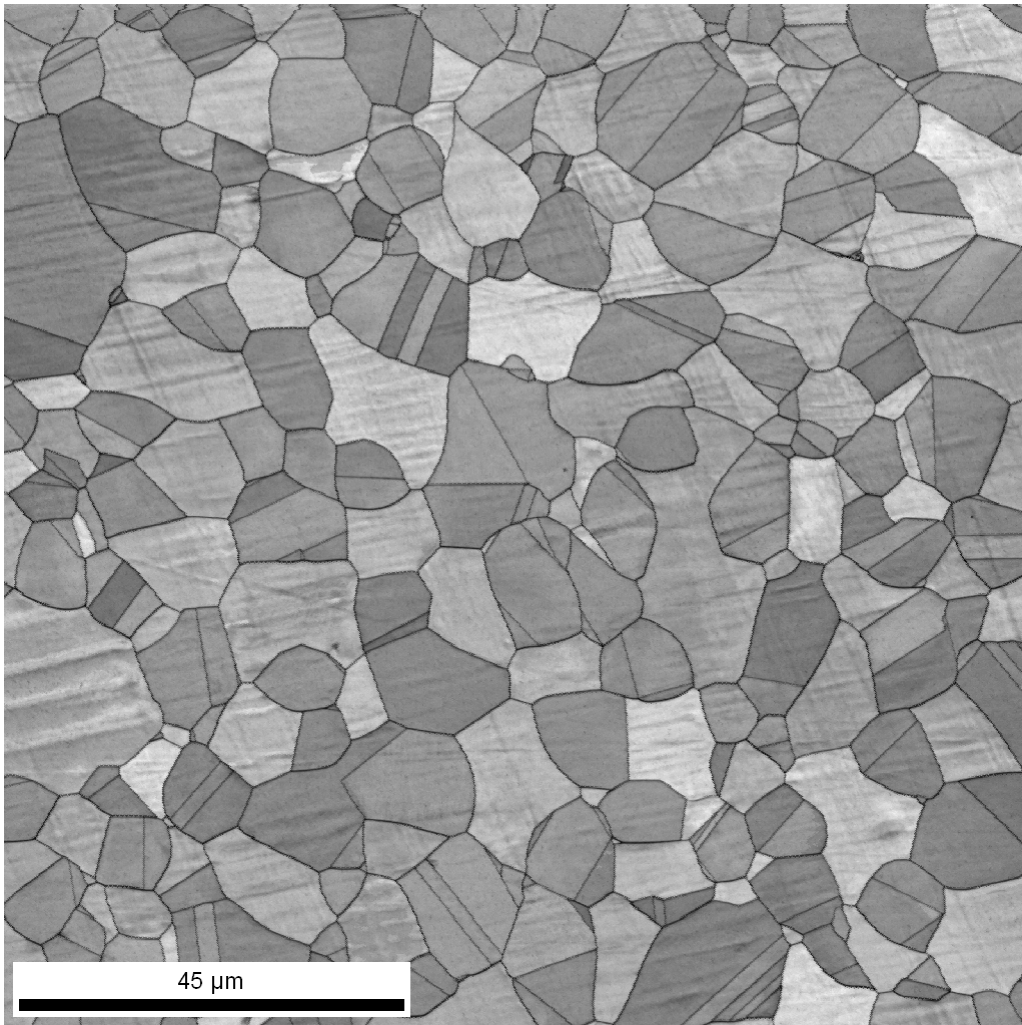
Ti alloy bimodal microstructure



Microstructural Characterisation

mapping (grains)

Duplex stainless steel



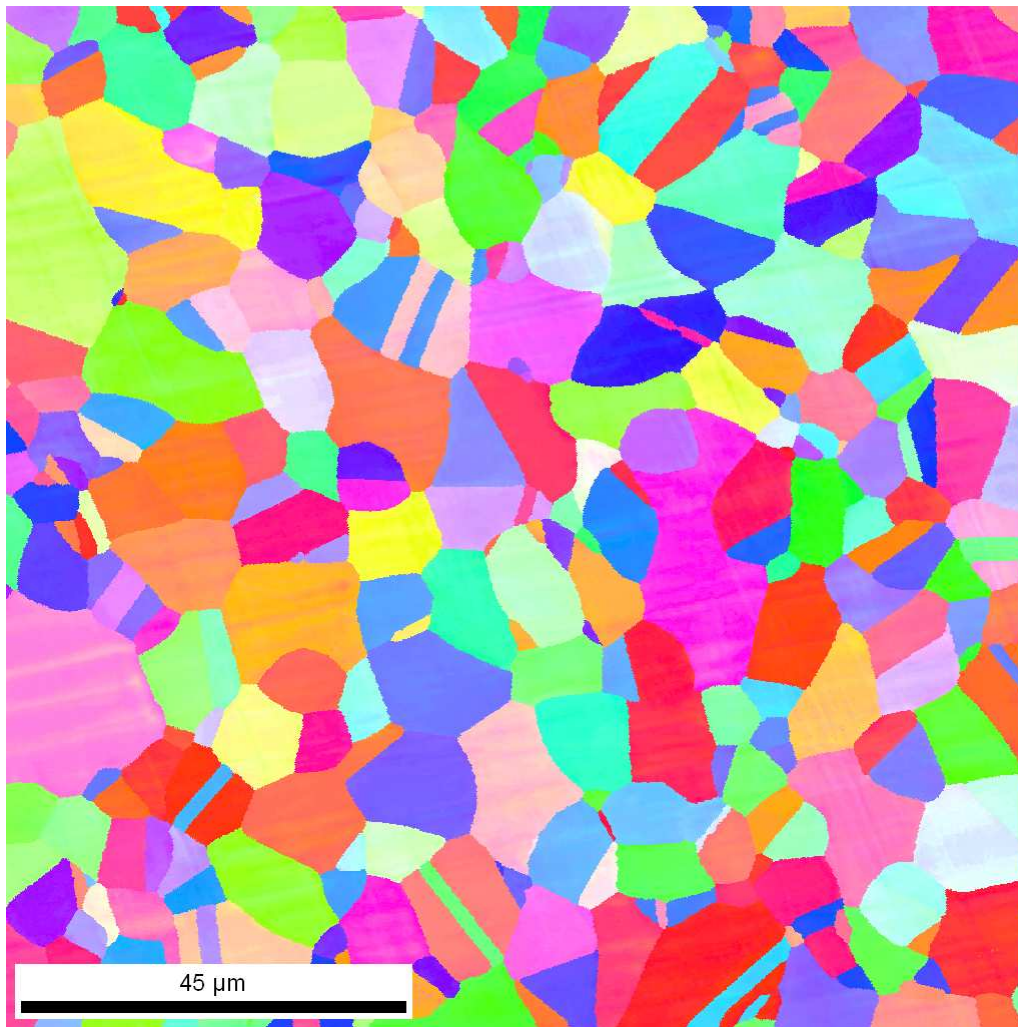
**Microstructure
Grain boundary visualisation**

$120 \mu\text{m} \times 120 \mu\text{m}$ – pas de $0,2 \mu\text{m}$ – $0,5 \text{nA}$

Microstructural Characterisation

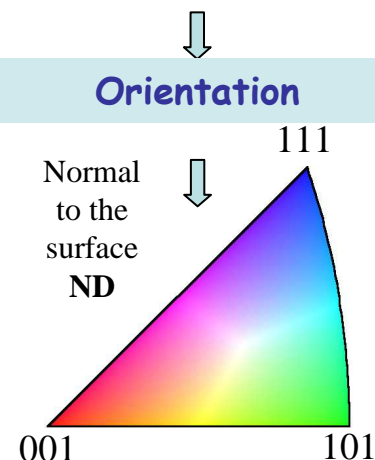
mapping (grains)

Duplex stainless steel



120 μm x 120 μm – pas de 0,2 μm – 0,5 nA

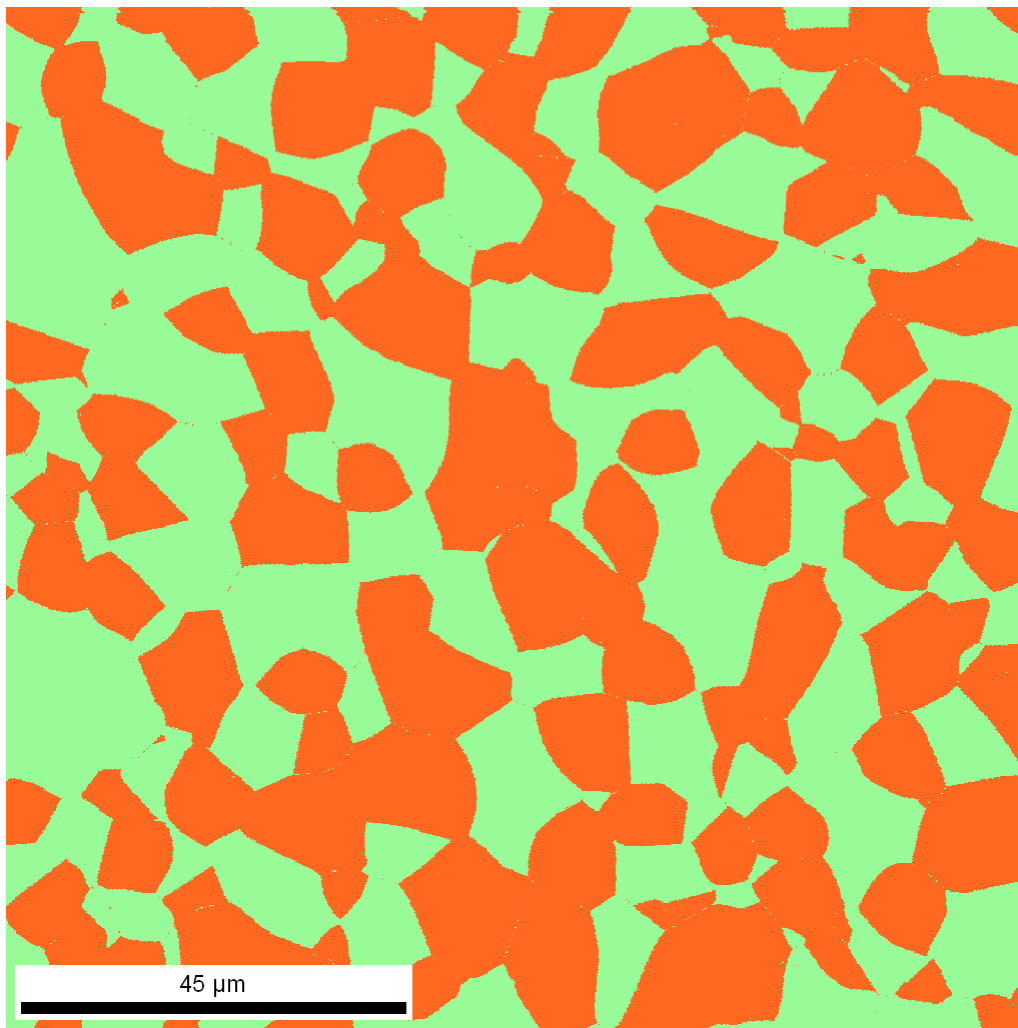
Microstructure
Grain boundary visualisation



Microstructural Characterisation

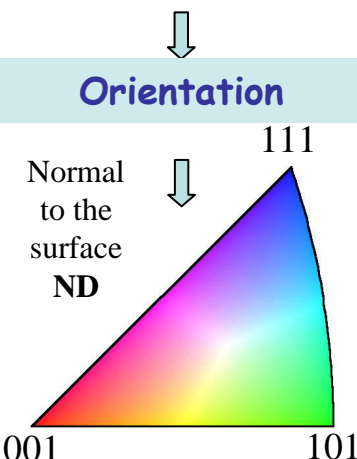
mapping (grains)

Duplex stainless steel



120 μm x 120 μm – pas de 0,2 μm – 0,5 nA

Microstructure
Grain boundary visualisation



Orientation

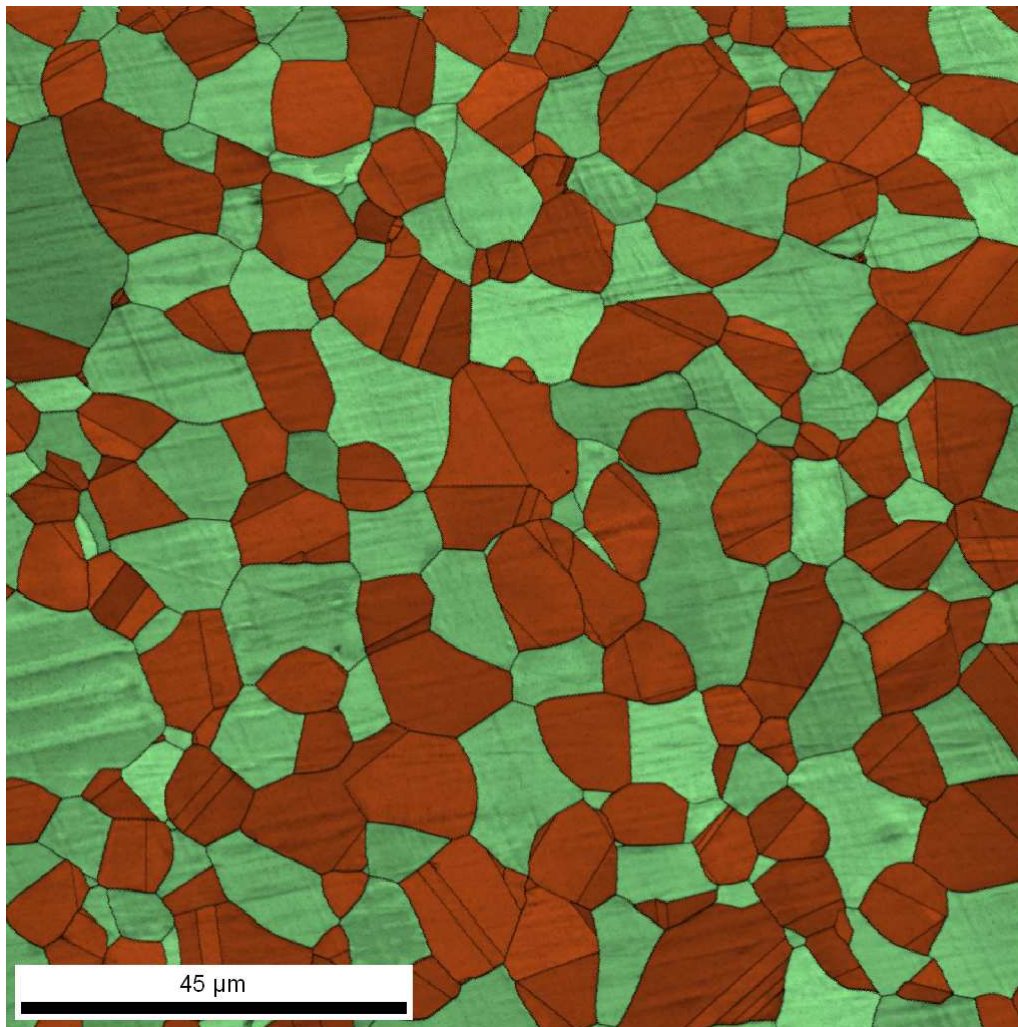
Phases

orange	austénite
light green	ferrite

Microstructural Characterisation

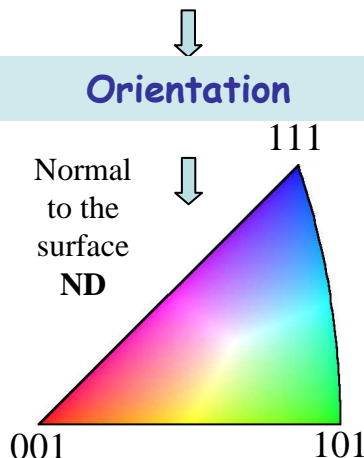
mapping (grains)

Duplex stainless steel



120 μm x 120 μm – pas de 0,2 μm – 0,5 nA

Microstructure
Grain boundary visualisation



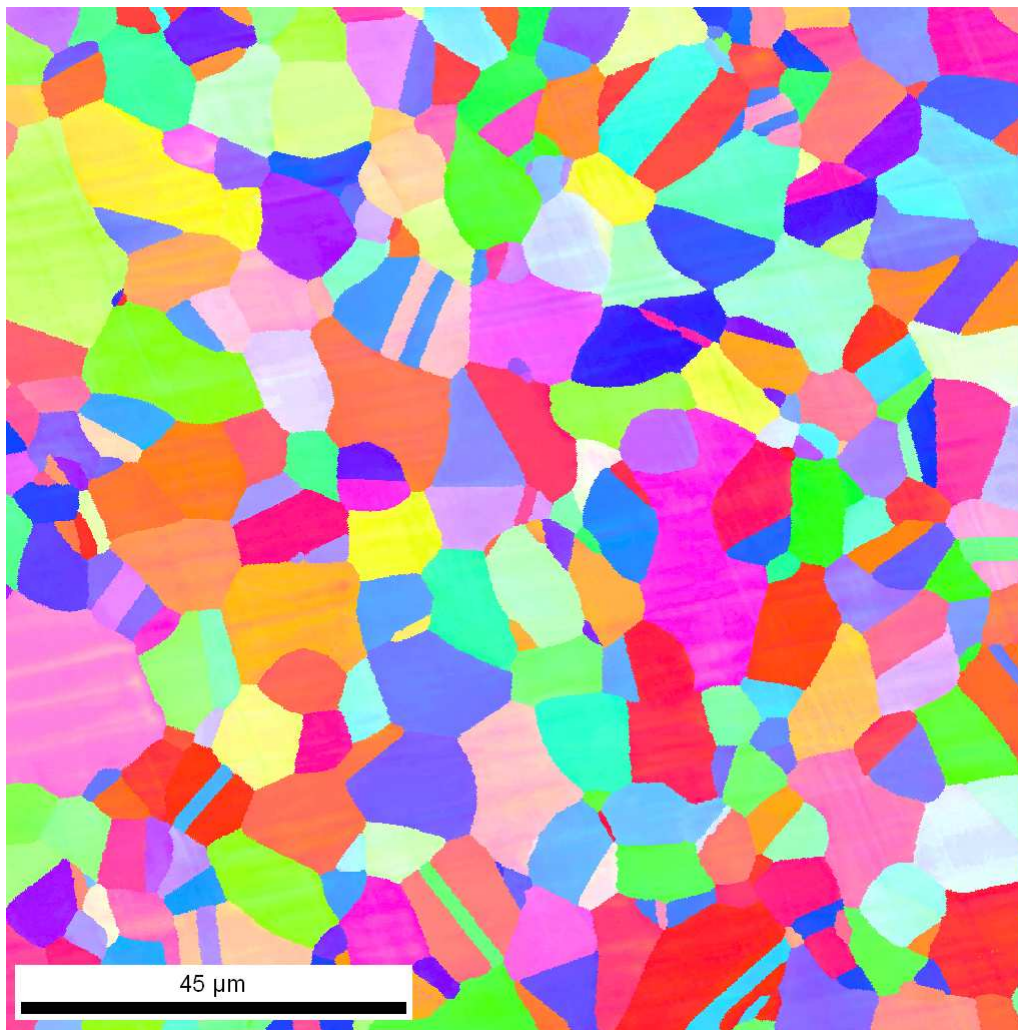
Phases

- austénite (represented by orange square)
- ferrite (represented by green square)

Microstructural Characterisation

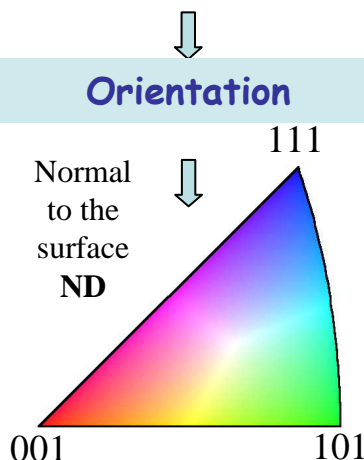
mapping (grains)

Duplex stainless steel

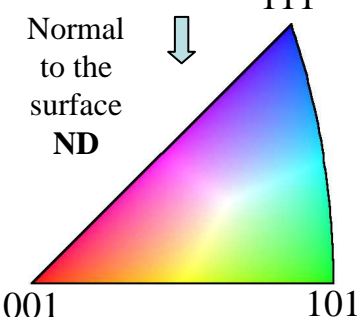


120 μm x 120 μm – pas de 0,2 μm – 0,5 nA

Microstructure
Grain boundary visualisation



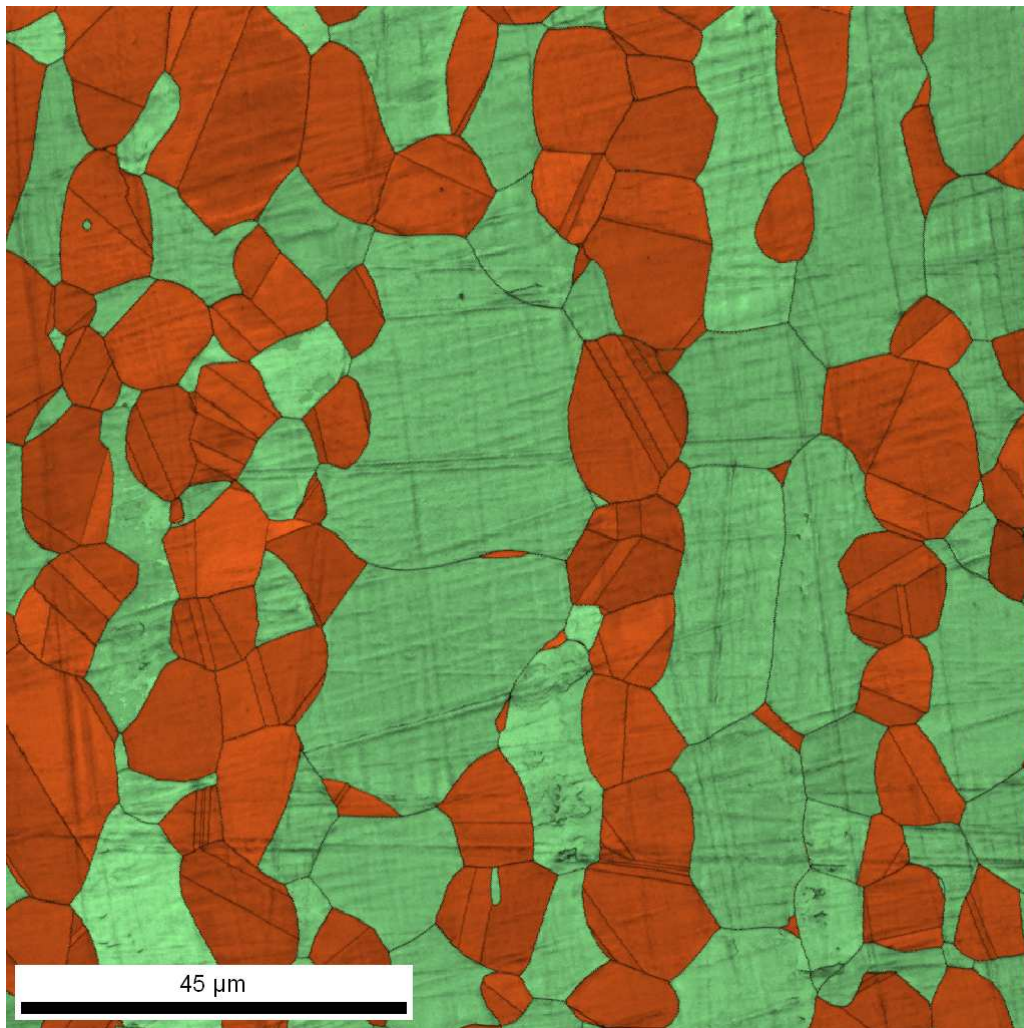
Orientation



Phases

- austénite
- ferrite

Duplex stainless steel

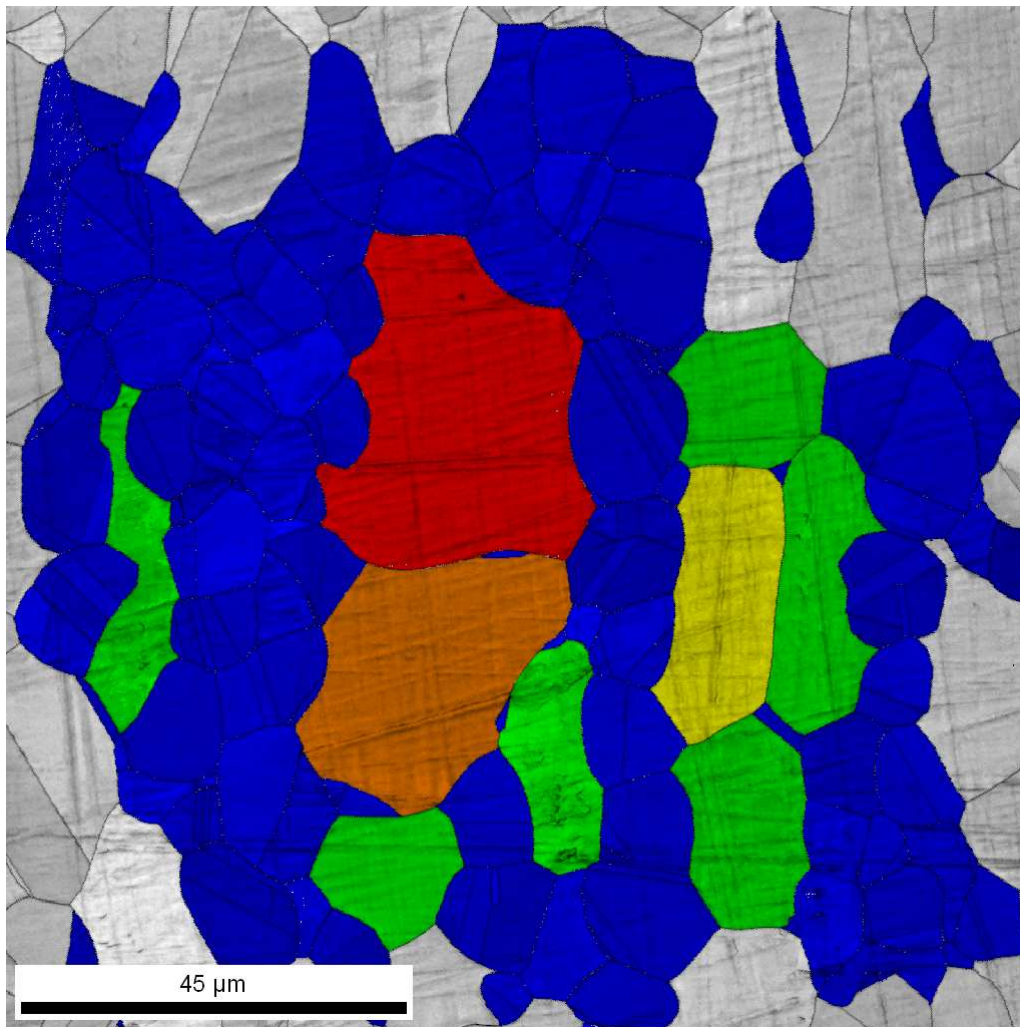


$120 \mu\text{m} \times 120 \mu\text{m}$ – pas de $0,2 \mu\text{m}$ – $0,5 \text{ nA}$

Microstructural Characterisation

mapping (grains)

Duplex stainless steel



120 μm x 120 μm – pas de 0,2 μm – 0,5 nA

Grains size



diameter

(starting from the surface area, the grain is associated to a circle, and the diameter is calculated)

Color Coded Map Type: Grain Size

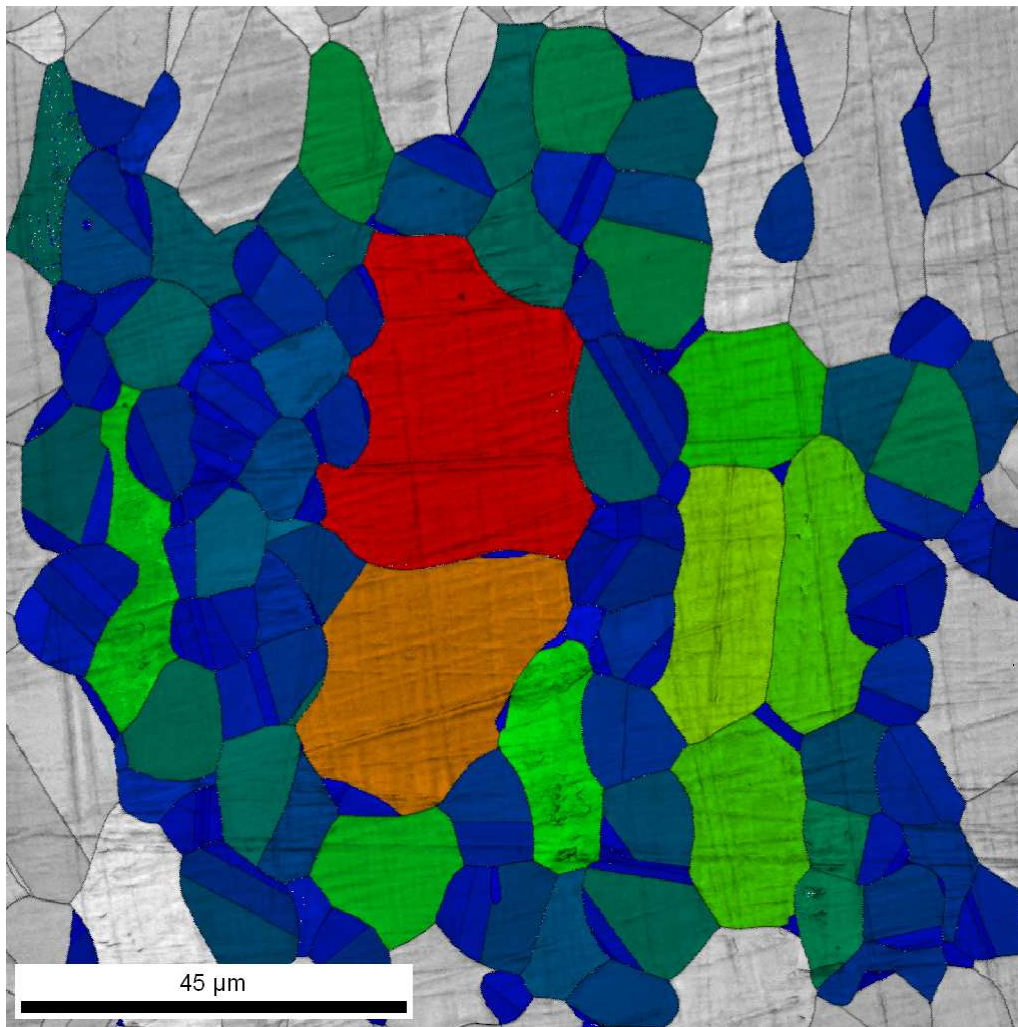
	Min	Max	Total Fraction	Partition Fraction
Blue	0.222755	15.091	0.471	0.471
Green	15.091	21.3408	0.102	0.102
Yellow	21.3408	26.1365	0.025	0.025
Orange	26.1365	30.1796	0.044	0.044
Red	30.1796	33.7416	0.062	0.062

« diameter » (μm)

Microstructural Characterisation

mapping (grains)

Duplex stainless steel



120 μm x 120 μm – pas de 0,2 μm – 0,5 nA

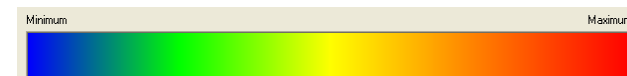
Taille de grains



diamètre

(A partir de l'aire, le grain est assimilé à un cercle, puis son diamètre calculé)

Color Gradient



34μm

Color Coded Map Type: Grain Size

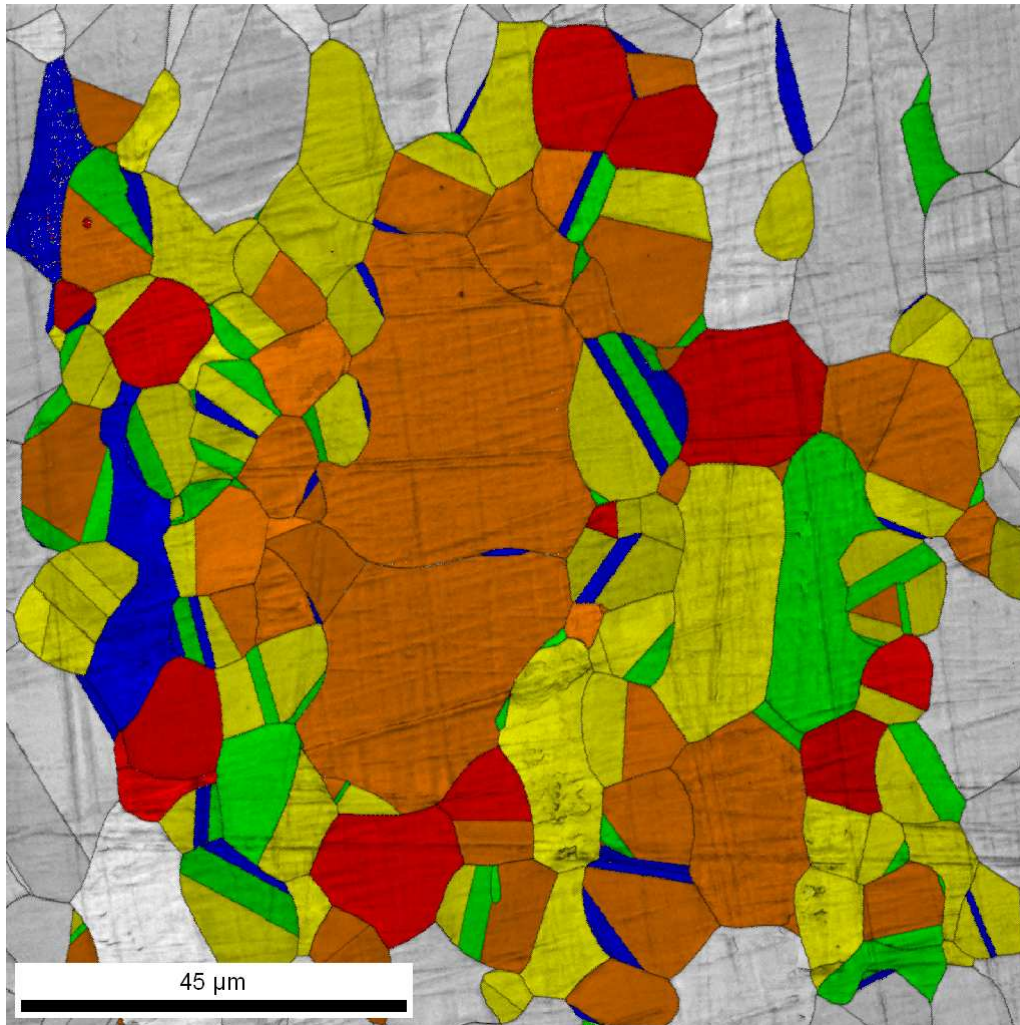
	Total	Partition
Min	Max	Fraction
0.222755	33.7416	0.704
		0.704

« diamètre » (μm)

Microstructural Characterisation

mapping (grains)

Duplex stainless steel



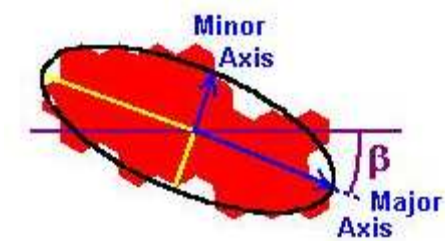
120 μm x 120 μm – pas de 0,2 μm – 0,5 nA

Grains shape

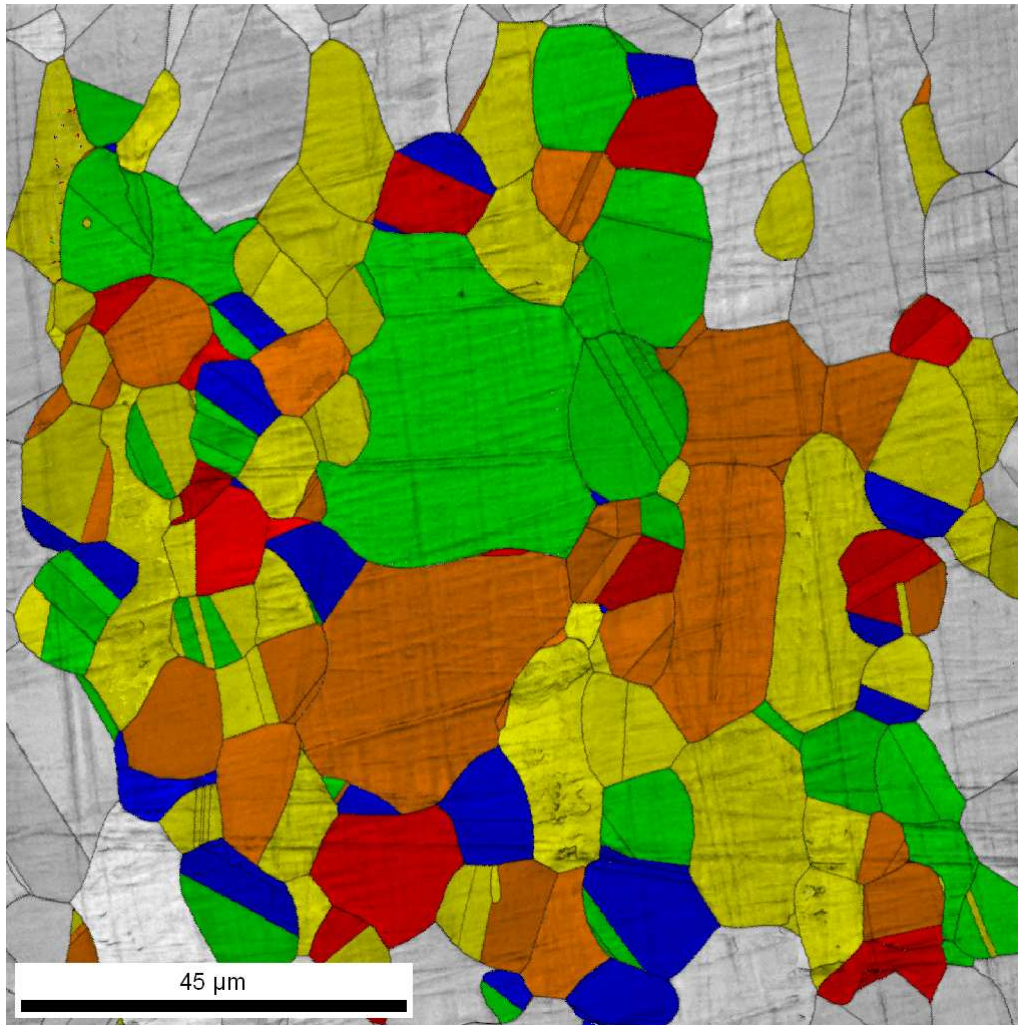
« aspect ratio »

Color Coded Map Type: Grain Shape Aspect Ratio		Total	Partition
Min	Max	Fraction	Fraction
0.0516818	0.198633	0.042	0.042
0.198633	0.345584	0.077	0.077
0.345584	0.492535	0.227	0.227
0.492535	0.639486	0.275	0.275
0.639486	0.786437	0.084	0.084

Aspect ratio :
length of the minor axis /
length of the major axis



Duplex stainless steel



120 μm x 120 μm – pas de 0,2 μm – 0,5 nA

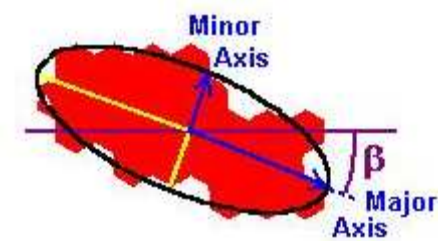
Grains shape

« grain shape orientation »

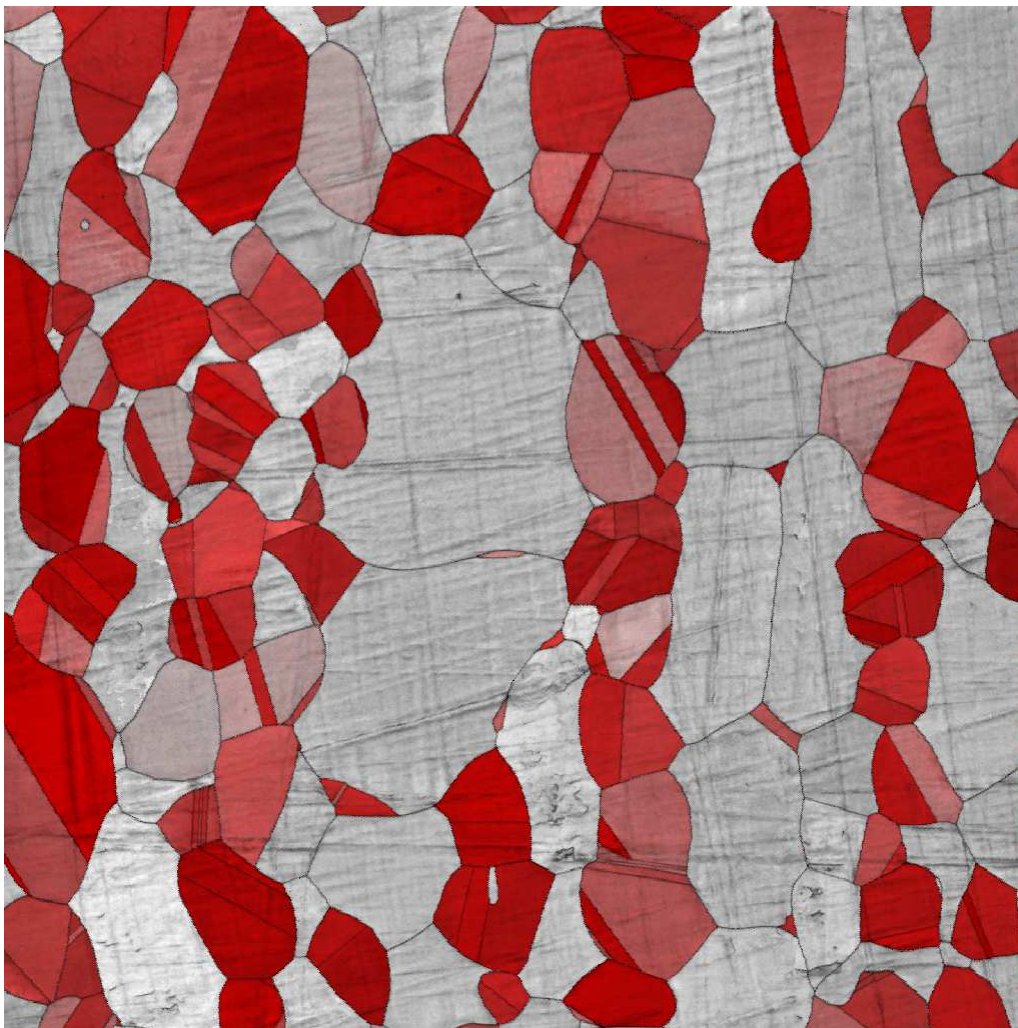
Color Coded Map Type: Grain Shape Orientation

		Total Fraction	Partition Fraction
Min	Max		
0	35.2117	0.058	0.058
35.2117	70.4234	0.180	0.180
70.4234	105.635	0.236	0.236
105.635	140.847	0.172	0.172
140.847	176.058	0.058	0.058

« Grain shape orientation » :
Angle β ($^{\circ}$) entre le grand axe
de l'ellipse et l'horizontale



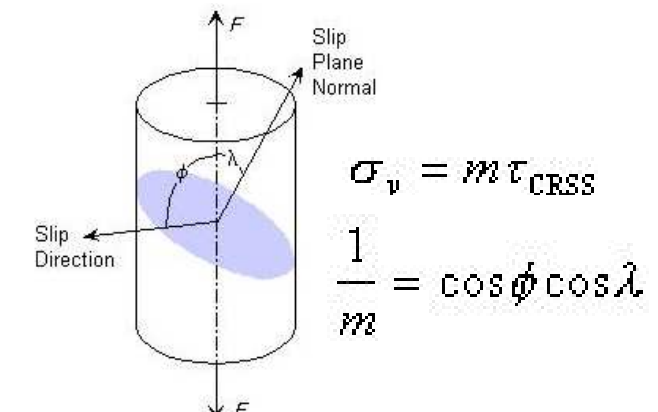
Duplex stainless steel



120 $\mu\text{m} \times 120 \mu\text{m}$ – pas de 0,2 μm – 0,5 nA

« mechanical properties »

« Schmid factor M »



Example of austenite (fcc) :

Active Gliding systems : {111}<110>
Tensile direction : RD

Color Coded Map Type: Schmid Factor

	Total Fraction	Partition Fraction
Min 0.273728	0.5	0.472



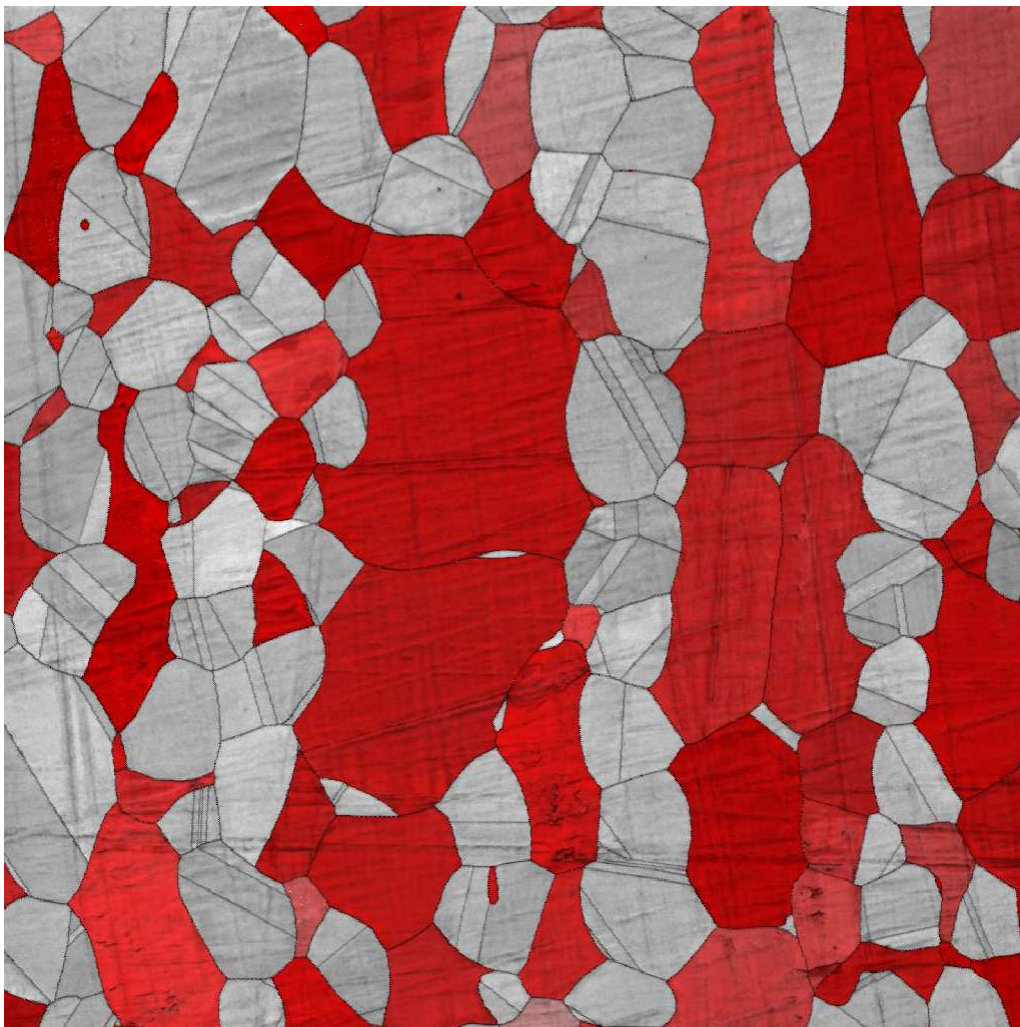
0

0,5

Microstructural Characterisation

mapping (grains)

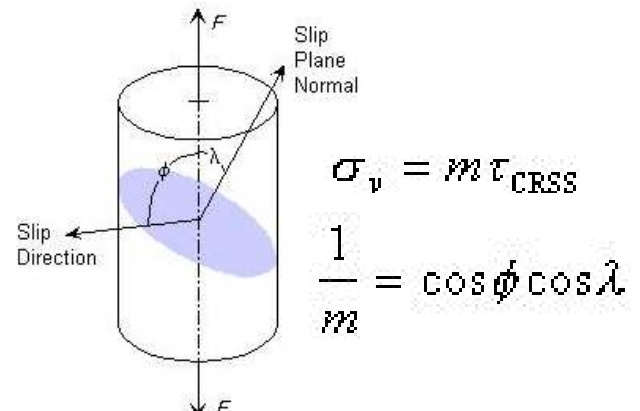
Duplex stainless steel



$120 \mu\text{m} \times 120 \mu\text{m} - \text{pas de } 0,2 \mu\text{m} - 0,5 \text{nA}$

« mechanical properties »

« Schmid factor M »



Example of ferrite (bcc) :

Active Gliding systems : {110}<111>
Tensile direction : RD

Color Coded Map Type: Schmid Factor

	Total Fraction	Partition Fraction
Min 0.285484	0.5	0.528

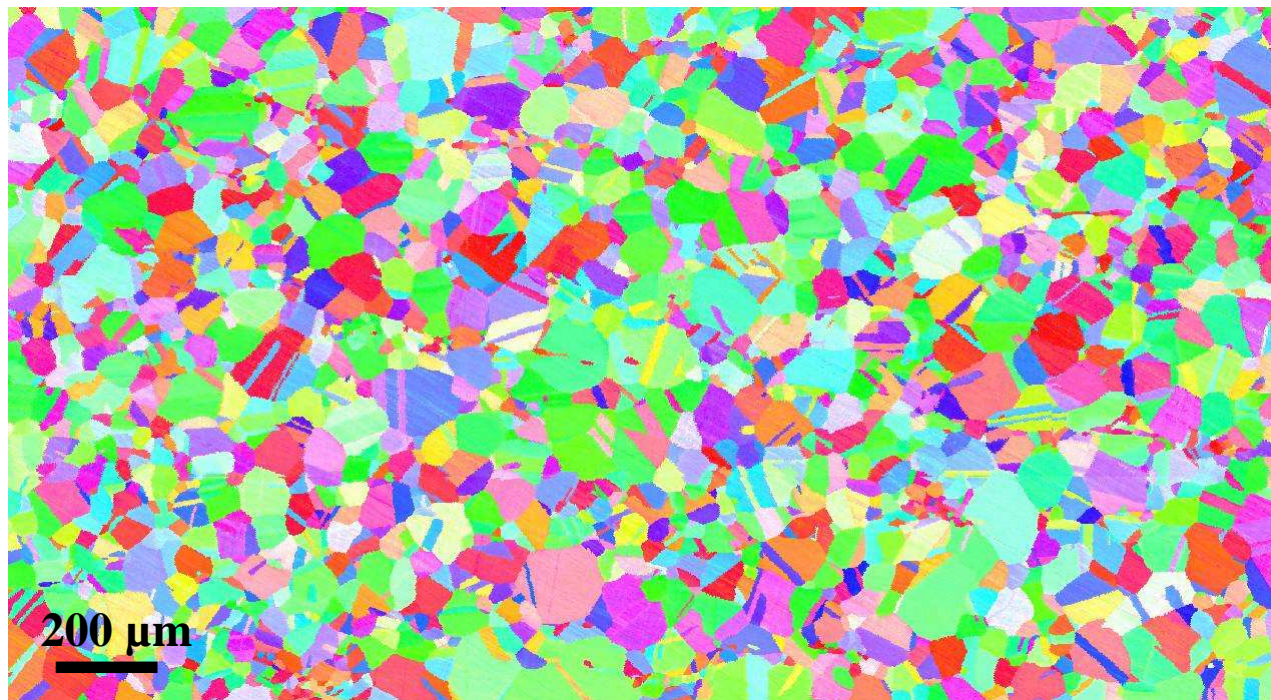


ND

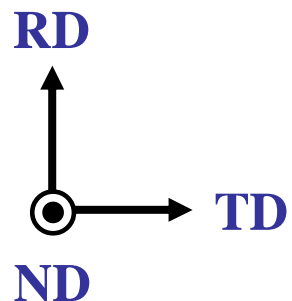
0

0,5

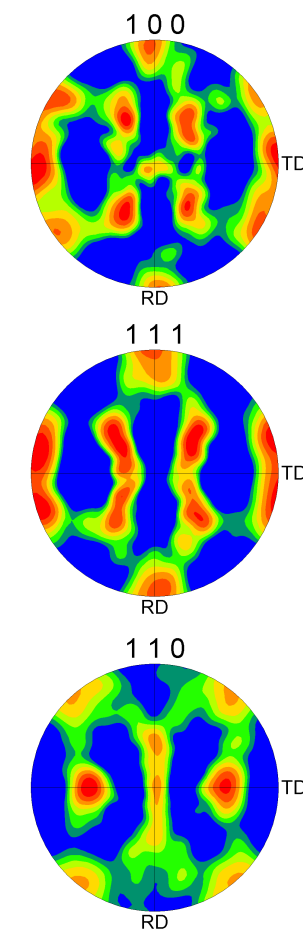
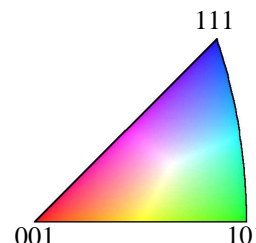
Informations « before / after » ...



Stainless steel 316L

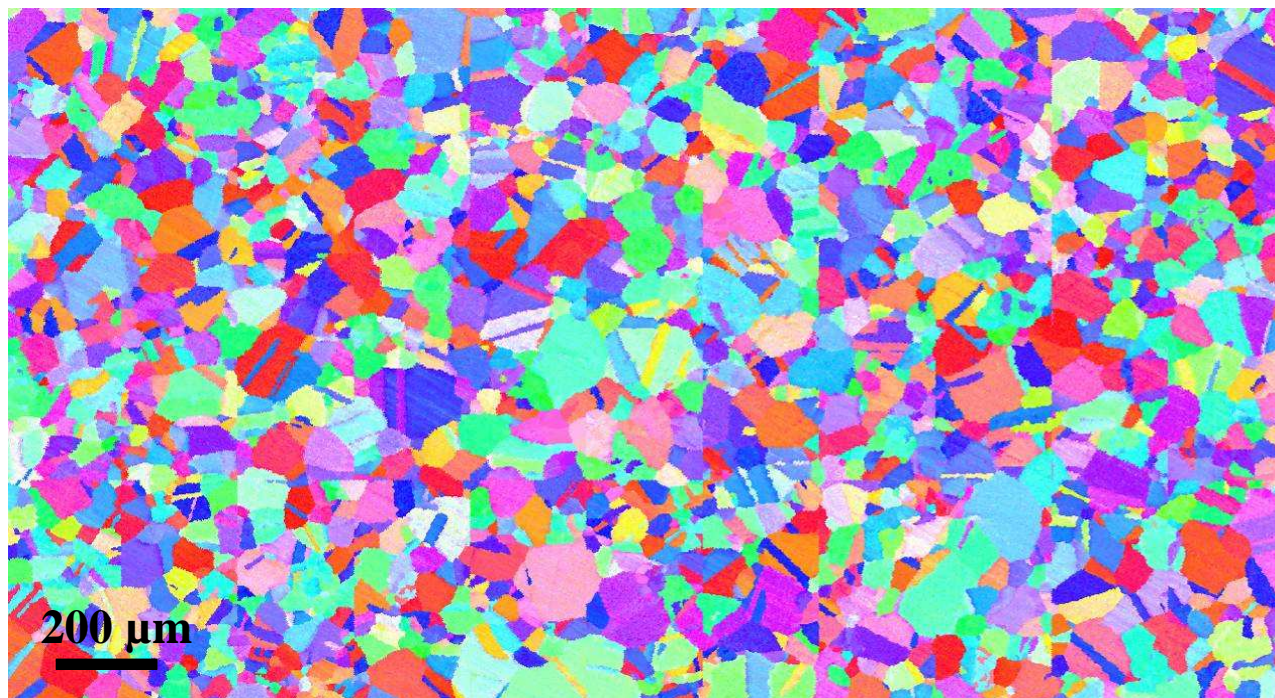
 $\approx 2 \text{ mm} \times 1 \text{ mm} - \text{pas de } 2 \mu\text{m}$ 

Orientation

Normal to the
surface ND

Informations « before / after » ...

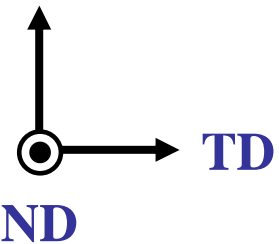
Plasma Nitriding
1h



Stainless steel 316L

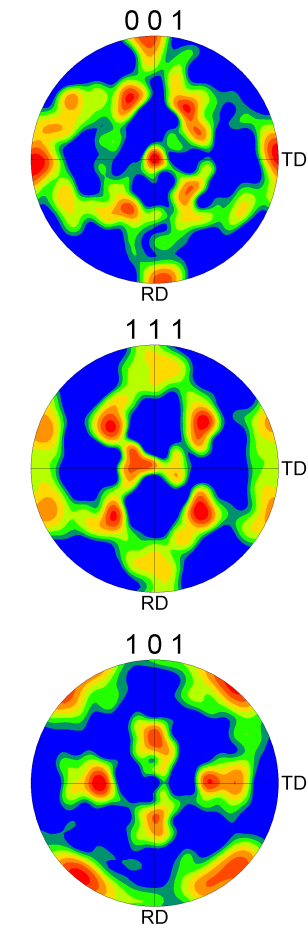
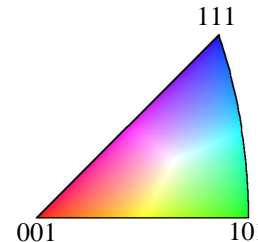
$\approx 2 \text{ mm} \times 1 \text{ mm} - \text{pas de } 2 \mu\text{m}$

RD



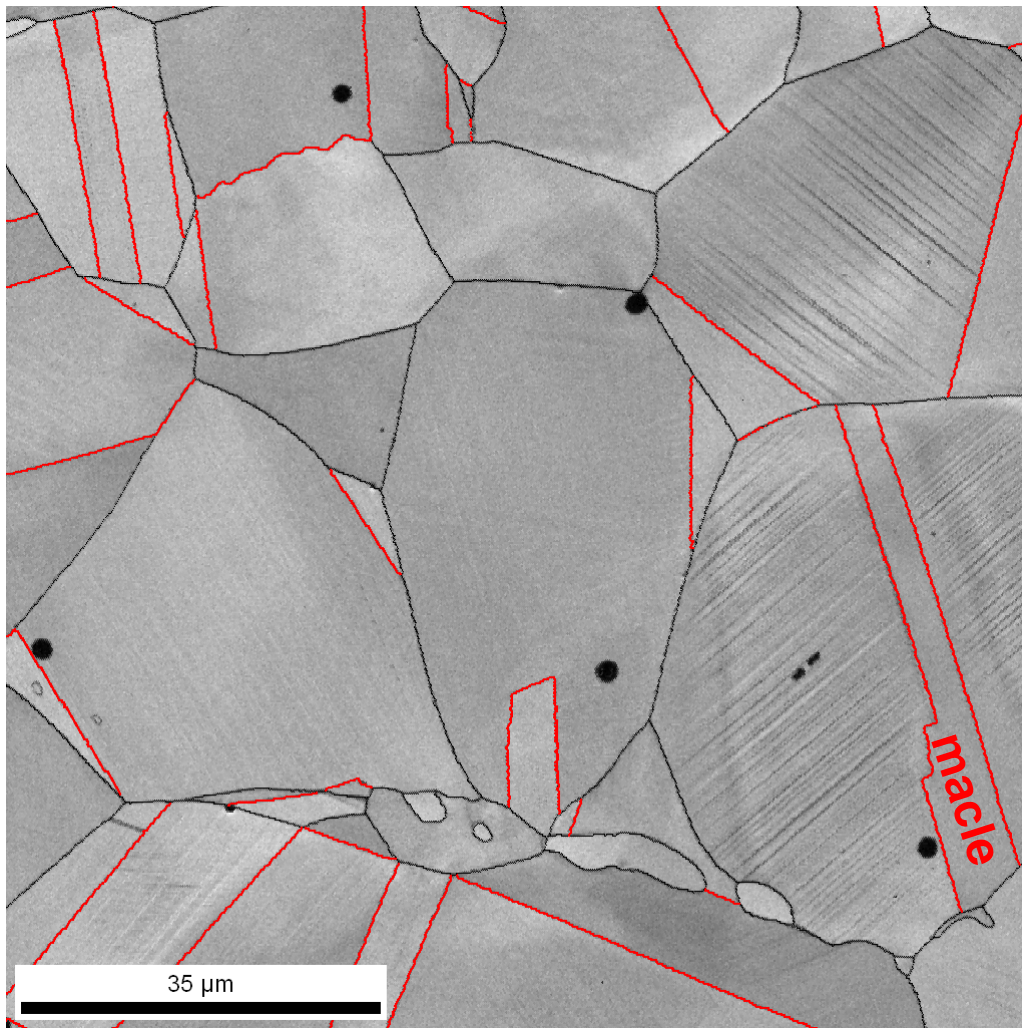
Orientation

Normal to the
surface ND



Evolution of the
surface
crystallographic
texture

Acier inoxydable 316L (après traction)



Facteur de qualité IQ

CSL : joints de grains « spéciaux »

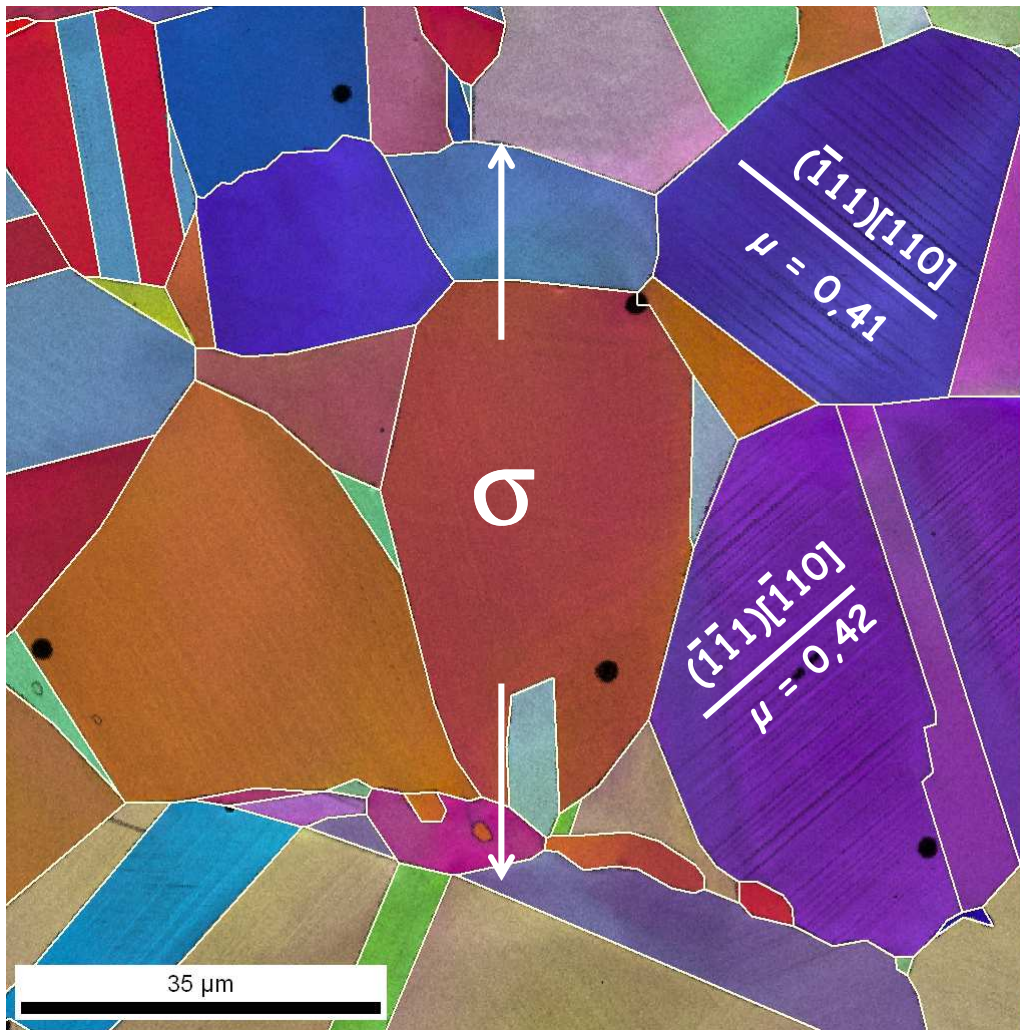
Une fraction d'atomes au niveau
du joint est commune aux réseaux
cristallins de chaque grain

Σ Type	Angle	Axis
1	0	1 1 1
3	60	1 1 1
5	36.86	1 0 0
7	38.21	1 1 1
9	38.94	1 1 0
11	50.47	1 1 0
13a	22.62	1 0 0
13b	27.79	1 1 1
15	48.19	2 1 0
17a	28.07	1 0 0
17b	61.92	2 2 1
19a	26.53	1 1 0
19b	46.83	1 1 1
21a	21.78	1 1 1
21b	44.41	2 1 1

$\Sigma = 3$ macles dans les cfc

Combine a,b,c..

Acier inoxydable 316L (après traction)



Reconstruction de joints de grains

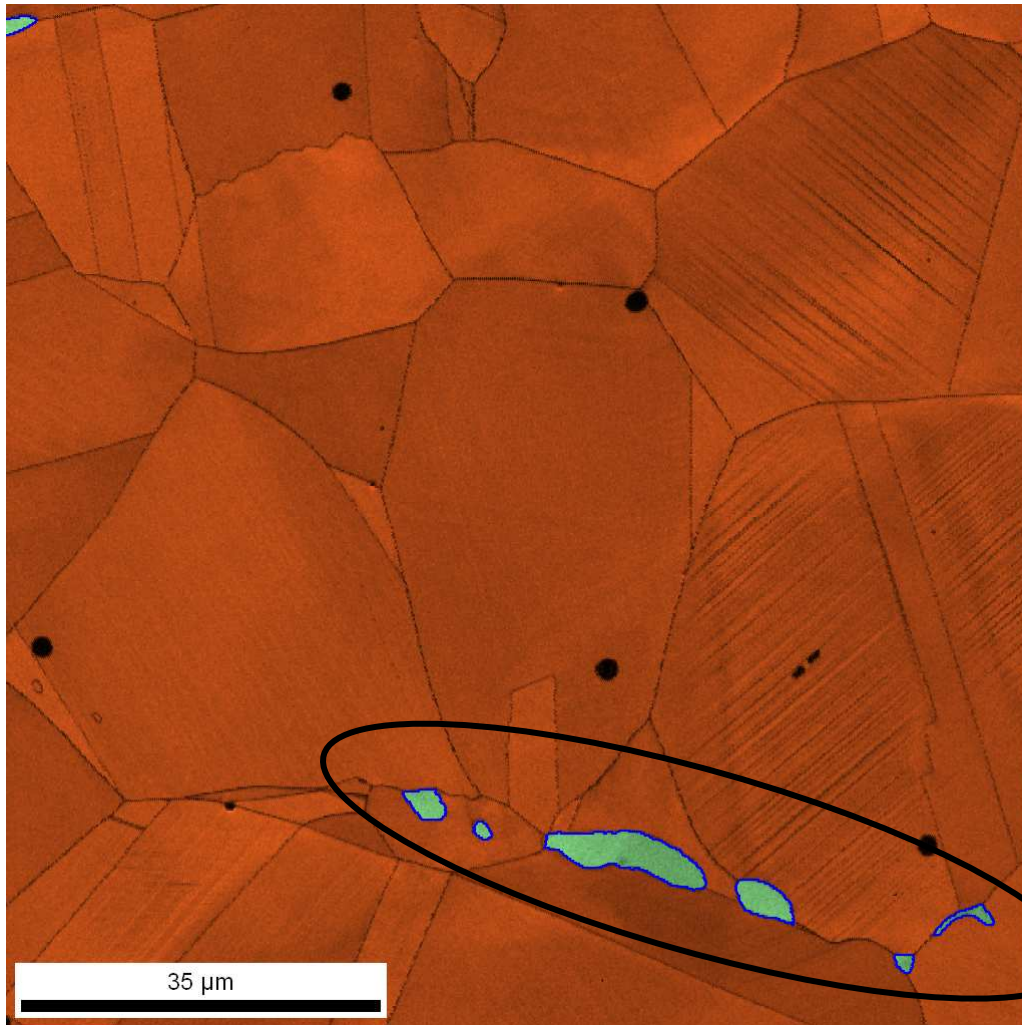
Les joints sont reconstruits par segments de droites



Paramètre :
« boundary deviation (°) »



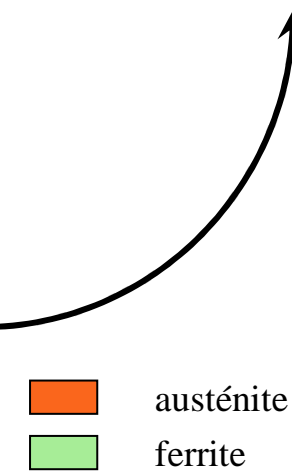
Acier inoxydable 316L (après traction)



Facteur de qualité IQ + Phases

Joints entre phases

Exemple :
présence de résidus de ferrite



austénite
ferrite